

Как видно из рисунка, высота максимума внутреннего трения при  $\sim 420$  К уменьшается после более высокотемпературного отжига. Энергия активации релаксационного процесса, приводящего к возникновению пика, определенная в свою очередь по тангенсу угла наклона кривой максимума, перестроенной в координатах  $\ln Q^{-1} - T^{-1}$  [1], была равна  $0.8 \pm 0.1$  эВ, коррелируя с данными работы [6]. Анализ экспериментальных результатов позволяет предположить механизм возникновения максимума: при закопеременной деформации происходит переориентация и распад вакансационных комплексов. Уменьшение высоты максимума внутреннего трения объясняется отжигом вакансационных комплексов как центров рассеяния энергии механических колебаний. В свою очередь уменьшение количества вакансационных комплексов и распад их приводят к некоторому увеличению длины колеблющихся, неотожженных дислокационных отрезков, что и является причиной дополнительного уменьшения модуля упругости.

### Л и т е р а т у р а

- [1] Криштал М. А., Головин С. А. Внутреннее трение и структура металлов. М.: Металлургия, 1976. 376 с.
- [2] Scott W. W., Macrone R. C. Rev. Sci. Instr., 1968, vol. 39, N 6, p. 821—823.
- [3] Максимюк П. А., Онанко А. П. ФТТ, 1983, т. 25, № 12, с. 3712—3713.
- [4] Бюрен В. Дефекты в кристаллах. М.: ИЛ, 1962. 389 с.
- [5] Никаноров С. П., Кардашев Б. К. Упругость и дислокационная неупругость кристаллов. М.: Наука, 1985. 253 с.
- [6] Вернер В. Д., Ковязин М. Г., Мильвидский В. Б. и др. ФТТ, 1977, т. 19, № 11, с. 3304—3309.

Институт полупроводников АН УССР  
Киев

Поступило в Редакцию  
16 февраля 1988 г.  
В окончательной редакции  
5 мая 1988 г.

УДК 538.11

Физика твердого тела, том 30, в. 9, 1988  
*Solid State Physics*, vol. 30, N 9, 1988

## ЭЛЕКТРОННО-ЯДЕРНЫЙ МАГНИТНЫЙ РЕЗОНАНС В ФЕРРОМАГНИТНЫХ ПЛЕНКАХ В ОБЛАСТИ НАСЫЩЕНИЯ ЯМР

Т. Х. Нургалиев, М. А. Шамсулдинов, В. В. Плавский

В области совмещения частот ЯМР  $\omega_n$  и ФМР  $\omega_e$  влияние неоднородностей поля магнитной анизотропии  $H_a$  и сверхтонкого поля (СТП) на характеристики электронно-ядерного магнитного резонанса (ЭЯМР) исследовано в случае линейного режима движения электронной М и ядерной  $\mu$  намагниченностей [1, 2]. В данной работе исследуются теоретически характер насыщения линии поглощения ЭЯМР и влияние на него микроскопических неоднородностей СТП в магнитных пленках, намагниченных в своей плоскости магнитным полем  $H \perp H_a$  [1, 3].

Вблизи основной частоты рассмотрим эффекты, обусловленные только насыщением ядерной системы, в переменном магнитном поле  $2H_1 \cos \omega t$ , направленном вдоль оси анизотропии. Для электронно-ядерной восприимчивости  $\chi_{en}$  и продольной компоненты ядерной намагниченности  $\mu_z$ , пренебрегая, как и в [4, 5], малым изменением  $\mu_z$  со временем [8], можно получить систему уравнений

$$\chi_{en} = \chi_e \left\{ 1 + \chi_e \int A^2 \left( \chi_n \frac{\mu_z}{\mu} - \chi_n^0 \frac{\mu + \mu_z}{\mu} \right) g(A) dA \right\}^{-1}, \quad (1)$$

$$\frac{\mu + \mu_z}{\mu} = - \frac{T_1 T_2 \omega_1^2}{1 + (\omega_n - \omega)^2 T_2^2} \left| \frac{\chi_{en}}{\chi_e} \right|^2, \quad (2)$$

где  $\chi_e = \chi'_e - i\chi''_e$ ,  $\chi_n = \chi'_n - i\chi''_n$  — невозмущенные динамические взаимодействием комплексные восприимчивости электронной и ядерной подрешеток [1, 3];  $\chi_n^0$  — статическая ядерная восприимчивость;  $\omega_1 = \gamma_n A |\chi_e| H_1$ ;  $\gamma_n$  — гиромагнитное отношение для ядер;  $A$  — константа сверхтонкого взаимодействия;  $T_1$ ,  $T_2$  — времена продольной и поперечной релаксации ядер. Уравнение (1) в случае линейного режима движения ( $\mu_z = -\mu$ ) переходит в выражение, хорошо исследованное в [1]. В точке совмещения ЯМР и ФМР динамический сдвиг частоты  $\omega_p = 0$ . Тогда при нелинейном

$\chi''_{en}$ , отн. ед.

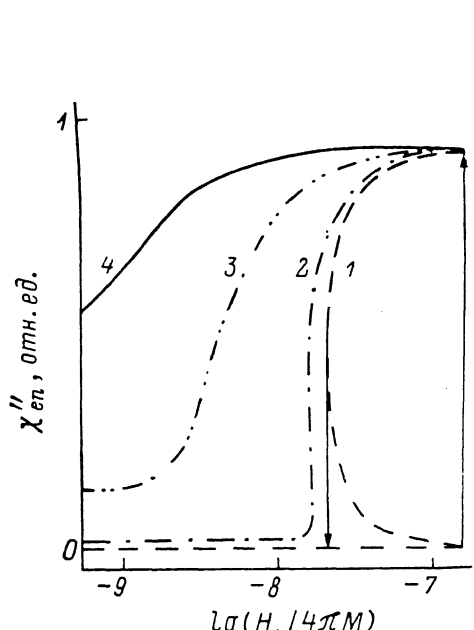


Рис. 1. Зависимость мнимой части ЭЯМР восприимчивости от амплитуды возбуждающего поля.

$$\begin{aligned} \omega = \omega_e = \omega_n &= 1.36 \cdot 10^9 \text{ с}^{-1}, T_2 = 2.5 \cdot 10^{-5} \text{ с}, \\ T_1 = 7.2 T_2 &[3], \Gamma_e = 9 \cdot 10^8 \text{ с}^{-1} [3], \omega_g = 3.7 \cdot 10^8 \text{ с}^{-1}, \\ 4\pi M &= 1.5 \cdot 10^4 \text{ Гс}. \end{aligned}$$

1 —  $\Delta\omega_0 = 0$ , 2 —  $2\pi \cdot 10^5$ ,  
3 —  $2\pi \cdot 10^6$ , 4 —  $1.2\pi \cdot 10^7 \text{ с}^{-1}$ .

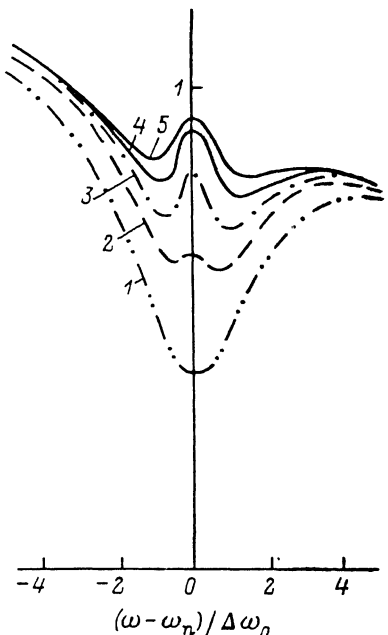


Рис. 2. Спектр ЭЯМР при  $\Delta\omega_0 = 1.2\pi \times 10^7 \text{ с}^{-1}$ .

$$H_1/4\pi M: 1 - 2.3 \cdot 10^{-10}, 2 - 1.4 \cdot 10^{-9}, 3 - 4.6 \cdot 10^{-9}, 4 - 6.9 \cdot 10^{-9}, 5 - 5 \cdot 10^{-7}. \text{ Остальные параметры те же, что и на рис. 1.}$$

режиме движения в случае ЭЯМР, как показывает анализ (1) и (2), отсутствует скачкообразный переход между двумя устойчивыми состояниями  $\mu$ , имеющий место при прохождении по частоте вдали от области совмещения [4, 5, 7]. С другой стороны, в случае отсутствия неоднородностей СТП в области совмещения ЯМР и ФМР могут существовать два устойчивых состояния  $\mu$ , соответствующие одному значению амплитуды переменного поля  $H_1$ , что может привести к скачкообразному изменению электронно-ядерной восприимчивости в зависимости от  $H_1$  (рис. 1).

В случае микроскопической неоднородности СТП, когда разброс частот ЯМР описывается лоренцевой функцией распределения  $g(A)$ , из (1) и (2) при не очень сильном насыщении ЭЯМР  $|\chi_n \mu_s| \gg \chi_n^0 |\mu_s| + \mu$  получим

$$\chi_{en} = \chi_e / (1 - \chi_e A^2 \bar{\chi}_n), \quad (3)$$

$$\bar{\chi}_n = \chi_n^0 \frac{\omega_n \Gamma_n^* (\omega_n - \omega) - i \Gamma_n^* (\Delta\omega_0 + \Gamma_n^*)}{(\omega_n - \omega)^2 + (\Delta\omega_0 + \Gamma_n^*)^2}, \quad (4)$$

где  $\Gamma_n^* = \Gamma_n (1 + \omega_1^2 T_1 T_2 |\chi_{en}|^2)$ ;  $\Gamma_n^* = T_2^{-1}$ ;  $\Delta\omega_0$  — неоднородная полуширина линии ЯМР. Наличие разброса частот ЯМР  $\Delta\omega_0 \gg T_1^{-1}, T_2^{-1}$ ,

как следует из анализа (3) и (4), подавляет скачкообразное изменение  $\chi''_{en}$  в зависимости от  $H_1$  (рис. 1). В этом случае форма линии ЭЯМР поглощения при насыщении ЯМР сильно зависит от соотношения между параметром динамического электронно-ядерного взаимодействия  $\omega_q = (4\pi\gamma_e^2 M A \mu)^{1/2}$  и величиной  $4\Gamma_e \Delta\omega_0$ , где  $\Gamma_e$  — частота затухания электронной системы,  $\gamma_e$  — гиromагнитное отношение для электронов. При  $\omega_q^2 \ll 4\Gamma_e \Delta\omega_0$ , т. е. в случае слабого ядерного сигнала, обратный пик ЯМР в  $\chi''_{en}$  определяется мнимой частью  $\bar{\gamma}_n$ . С увеличением  $H_1$  происходит насыщение  $\chi''_{en}$ , т. е. постепенное уменьшение обратного пика ЯМР и его исчезновение при  $H_1 \gg 2\Gamma_e / (\gamma_e^2 4\pi M \sqrt{T_1 T_2})$ . В случае сильного ядерного сигнала  $\omega_q^2 \geq 4\Gamma_e \Delta\omega_0$ , при  $\Delta\omega_0 > \Gamma_n^* > \Gamma_n$  с увеличением  $H_1$  мнимая часть ядерной восприимчивости  $\bar{\chi}_n$  уменьшается, а действительная часть  $\bar{\gamma}_n$  меняется слабо. Тогда в условиях совмещения ЯМР и ФМР на фоне широкого минимума  $\chi''_{en}$  возникает локальный узкий пик, ширина которого может быть оценена по формуле

$$\Gamma_\Delta \sim \frac{2\sqrt{2} \Gamma_e (\Delta\omega_0 + \Gamma_n^*)^2}{\omega_q^2}. \quad (5)$$

При  $H_1 \rightarrow 2\Gamma_e \Delta\omega_0 T_2 / (\gamma_e^2 4\pi M \sqrt{T_1 T_2})$  мнимая часть ЯМР восприимчивости  $\bar{\chi}_n'' \rightarrow 0$ . Тогда вершина локального пика практически достигает уровня  $\chi_e''$ , его интенсивность сначала растет, потом уменьшается благодаря насыщению обратного пика ЯМР (рис. 2), а ширина  $\Gamma_\Delta$  увеличивается. Из (5) следует, что рост параметра  $\omega_q$  приводит к сужению локального пика, тогда как обратный пик ЯМР при этом уширивается [1, 3]. Появление «сверхтонкой» структуры в спектре ЭЯМР в виде узкого локального пика, как следует из анализа (3), (4) и рис. 2, прежде всего возможно при низких температурах в кобальтосодержащих пленках с малым электронным затуханием и малым однородным уширением линии ЯМР  $\Gamma_n \ll \Delta\omega_0$ .

В заключение отметим, что вдали от области совмещения ЯМР и ФМР пик ЯМР в  $\chi''_{en}$  в основном обусловливается  $\bar{\chi}_n''$  и исчезает из-за насыщения при полях  $H_1 \gg \omega_e^2 / (\omega_n \gamma_e^2 4\pi M \sqrt{T_1 T_2})$ . Восстановление  $\chi''_{en}$  до  $\chi_e''$  вдали от области совмещения может произойти при меньших амплитудах возбуждающего поля по сравнению со случаем ЭНМР (рис. 2), если  $|\chi_e|_{\omega_e=\omega_n} < < \Delta\omega_0 T_2 |\chi_e|_{\omega_e>\omega_n}$ . Действительно, в кобальтосодержащих пленках, для которых  $\Delta\omega_0 T_2 \gg 1$  при 77 К, обнаружено более медленное насыщение ЭЯМР по сравнению с ЯМР в нулевом внешнем поле [8].

## Л и т е р а т у р а

- [1] Игнатченко В. А., Мальцев В. К., Цифринович В. И. ЖЭТФ, 1978, т. 75, № 1 (7), с. 217—227.
- [2] Ботвинко М. И., Иванов М. А. ФТТ, 1982, т. 24, № 2, с. 574—580.
- [3] Игнатченко В. А., Цифринович В. И. ЖЭТФ, 1975, т. 68, № 2, с. 672—676.
- [4] Куркин М. И. Письма в ЖЭТФ, 1978, т. 28, № 11, с. 675—678.
- [5] Куркин М. И., Райдугин Ю. Г., Танкеев А. П. ФТТ, 1987, т. 29, № 2, с. 503—508.
- [6] Бушвили Л. Л., Кесаев В. И., Угулава А. И. ФТТ, 1985, т. 27, № 6, с. 1707—1711.
- [7] Тулин В. А. ЖЭТФ, 1980, т. 78, № 1, с. 149—156.
- [8] Игнатченко В. А., Мальцев В. К., Цифринович В. И. ФТТ, 1977, т. 19, № 7, с. 2036—2038.
- [9] Устинов В. Б., Репников С. П., Сааков Э. О., Теряев В. А. ФТТ, 1968, т. 10, № 5, с. 1589—1591.

Башкирский государственный университет  
Уфа

Поступило в Редакцию  
10 мая 1988 г.